

## نانواستراتیگرافی نهشته‌های منسوب به گذر سازنده‌های گوربی –پابده واقع در مرز بین زون‌های ایده و فروافتادگی دزفول، زاگرس

سعیده سنماری

گروه مهندسی معدن، دانشگاه بین‌المللی امام خمینی (ره)، قزوین

\* senemari2004@yahoo.com

دریافت: ۹۶/۴/۱۹ پذیرش: ۹۶/۸/۷

### چکیده

نانوفسیل‌های آهکی در تعیین دقیق سن نسبی لایه‌های دوران دوم و سوم اهمیت زیادی دارند. به منظور مطالعه گذر کرتاسه به ترشییری برشی در مرز بین زون‌های ایده و فروافتادگی دزفول انتخاب شد. در این گذر، رسوباتی به ضخامت حدود ۴۰ متر از رسوبات شیلی و آهکی مورد مطالعه قرار گرفت و برای اولین بار ۳۹ گونه از نانوفسیل‌های آهکی شناسایی شد. در نتیجه این مطالعه بیوزون‌های Arkhangelskiella cymbiformis Zone (CC25/UC19) و Reinhardtites Levis Zone (CC24/UC18) به سن کرتاسه بالایی و زون (NP6) Heliolithus kleinpelli Zone به سن سلاندین/اثانتین که با زون‌بندی‌های استاندارد جهانی مطابقت دارد، شناسایی شد. بر اساس بیوزون‌های بدست آمده، بازه زمانی گذر مورد مطالعه ماستریشتن- سلاندین/اثانتین (Middle/Late Paleocene) و بنابراین مرز بین گذر کرتاسه به پالئوژن در این برش از نوع ناپیوستگی معرفی می‌شود.

**واژه‌های کلیدی:** بیوزون، نانو استراتیگرافی، نهشته رسوبی، ایده، زاگرس

**شیل‌های ارغوانی پابده بر مبنای نانوفسیل‌های آهکی**  
مورد مطالعه قرار گرفت. تاکنون مطالعات زیادی در رابطه با سازنده‌های مذکور در زاگرس صورت گرفته که از جمله این مطالعات می‌توان به مطالعات [۷، ۱۳، ۱۱، ۱۲، ۹، ۸، ۴] اشاره کرد. هدف اصلی از این پژوهش، مطالعه و شناسایی نانوفسیل‌های آهکی، ایجاد زون‌بندی بیواستراتیگرافی و ارائه دقیق سن نسبی رسوبات مطالعه شده بر اساس حضور یا انقراض گونه‌های نانوفسیلی در گذر از کرتاسه به پالئوژن است.

### ۲- روش مطالعه

برش مورد مطالعه در مرز مشترک پهنه ساختاری ایده و فروافتادگی دزفول بین مختصات جغرافیایی  $30^{\circ} - 50^{\circ}$  شرقی و  $45^{\circ} - 49^{\circ}$  شمالی قرار دارد (شکل ۱). بعد از انتخاب بهترین رخنمون، نمونه‌برداری از ۴۰ متر ضخامت مقطع مورد نظر صورت گرفت. این رخنمون از لحاظ رسوب‌شناسی از شیل و میان لایه‌هایی از سنگ‌آهک تشکیل شده است. آماده‌سازی نمونه‌های حاوی نانوفسیل‌های آهکی به دو روش اسمیر اسلاید و ثقلی صورت گرفت [۵]. در روش

### ۱- مقدمه

کمربند چین‌خورده زاگرس بخشی از کمربند کوه‌زای آلپ-هیمالیا با روند شمال‌غرب-جنوب‌شرق است. پهنه ایده بخشی از زاگرس چین‌خورده بوده که در امتداد یک گسل در جنوب‌غربی گسل زاگرس مرتفع قرار گرفته بطوری که این گسل، پهنه مورد نظر را به دو بخش شمال‌غربی و جنوب‌شرقی تقسیم می‌کند [۱۸]. در بخش شمال‌غربی، هسته تاقدیس‌ها از سازنده‌های گروه بنگستان (کرتاسه) تشکیل گردیده اما در بخش جنوب‌شرقی، سنگ‌آهک‌های سازند آسماری تشکیل‌دهنده هسته تاقدیس‌ها است و میدان‌های نفتی و گازی را در بر می‌گیرد. سازنده‌های گوربی و پابده که بعنوان سنگ منشأ نفت در زاگرس گسترش زیادی دارند در این زون مشاهده می‌شود [۱]. این سازنده‌ها در مرز مشترک پهنه ساختاری ایده و فروافتادگی دزفول قرار دارد. از این برش حدود ۴۰ متر ضخامت از رسوبات بر اساس شواهد صحرایی و لیتولوژیکی برداشت شد. سنگ‌شناسی غالب بخش فوکانی سازند گوربی از شیل با میان لایه‌های نازک سنگ‌آهک است و لیتولوژی سازند پابده نیز شیلی است. در این مطالعه حد تماس رسوبات کرتاسه بالایی با

می‌گردد. در این حال محلول حاضر به مدت ۱۵ دقیقه ثابت نگه داشته می‌شود تا ذرات سنگین تهشیش شوند. در ادامه مجدداً بخش بالایی این محلول خارج و بخش پایینی آن جهت مطالعه نانوفسیل‌ها مورد استفاده قرار می‌گیرد. در نهایت اسلامیدهای تهیه شده توسط میکروسکوپ مطالعه و از گونه‌های مختلف آن عکسبرداری شد. در این تحقیق به منظور شناسایی نانوفسیل‌ها و مطالعات زیست‌چینهای، از مقالات و کتب مختلفی استفاده گردید [۶، ۱۶].

اسمیر اسلامید که روشی ارزان و سریع است، جهت به دست آوردن سطح تازه، ابتدا نمونه را تراشیده و بعد مقدار کمی از پودر نمونه با آب مقطر رقیق شده و سپس محلول در روی اسلامید پخش می‌شود. سپس بعد از طی چند مرحله آماده‌سازی، تمامی اسلامیدها با بزرگنمایی ۱۰۰۰ توسط میکروسکوپ پلاریزان مورد مطالعه قرار گرفت. در روش نقلی مقداری از پودر نمونه در بشری با آب مقطر به حالت تعليق در آورده می‌شود. سپس بعد از یک دقیقه بخش بالایی محلول به بشری دیگر منتقل



شکل ۱. موقعیت جغرافیایی منطقه مورد مطالعه واقع در مرز مشترک پهنه ساختاری اینده و فروافتادگی دزفول (برگرفته شده با کمی تغییرات [۴])

به سن *Arkhangelskiella cymbiformis* Zone تا *Zone Arkhangelskiella cymbiformis* کرتاسه فوقانی بر اساس زون‌بندی‌های استاندارد جهانی [۱۶] و زون زیستی [۷] به سن پالئوسن میانی تا پسین بر اساس زون‌بندی استاندارد جهانی [۱۴] شناسایی شد. دلیل استفاده از زون‌بندی‌های مذکور به جهت آن است که این زون‌بندی‌ها جهانی بوده و در عرض‌های جغرافیایی پایین و تجمعات فسیلی دریایی باز کاربرد فراوان دارند. در این مطالعه تعیین زون‌های مذکور بر اساس اولین ظهور (*Last Occurrences*) و نیز آخرین حضور (*First Occurrences*) گونه‌های شاخص صورت گرفت. در شرح *Coccoliths Cretaceous CC* بیانگر بیوزون‌ها نیز حروف CC

### ۳- بیواستراتیگرافی

تاکنون مطالعات زیادی بر روی گونه‌های مختلف نانوفسیل‌های آهکی به ویژه انواع متعلق به دوران‌های مژوزوئیک و سنوزوئیک انجام شده است که از آن جمله می‌توان به مطالعات [۶ و ۱۶] در مناطق با عرض جغرافیایی پائین و بالا اشاره کرد. الگوی تکاملی و گسترش جغرافیایی این گروه فسیلی در اقیانوس‌ها در تحقیقات مختلفی مانند اقیانوس‌شناسی، بیواستراتیگرافی رسوبات دریایی و پالئوكولوژی کاربرد دارد [۲۳]. در مطالعه حاضر با شناسایی اجزای تشکیل‌دهنده ساختمان آن‌ها در رسوبات (پلیت)، ضمن تشخیص ۳۹ گونه از نانوفسیل‌های آهکی، زون زیستی *Reinhardtites levis*

مولف: این زون توسط سیسینگ [۱۹] معرفی شده است.  
همارزی: این زون معادل زون *UC18* از زون‌بندی بارتنت [۶] است. برخی از مهم‌ترین گونه‌های شناسایی شده در این زون گونه‌های *Arkhangelskiella cymbiformis*, *Arkhangelskiella specillata*, *Arkhangelskiella maastrichtiana*, *Aspidolithus parcus expansus*, *Calculites obscurus*, *Ceratolithoides aculeus*, *Chiastozygus platyrhethus*, *Eiffellithus turriseiffelii*, *Lucianorhabdus cayeuxii*, *Lithraphidites carniolensis*, *Microrhabdulus belgicus*, *Microrhabdalus decuratus*, *Micula concava*, *Micula cubiformis*, *Micula decussata*, *Micula swastika*, *Micula praemurus*, *Quadrum trifidum*, *Quadrum sissinghii*, *Prediscosphaera cretacea*, *Reinhardtites levis*, *Tetrapedorhabdus decorus*, *Thoracosphaera operculata*, *Watznaueria biporta*, *Watznaueria barnesiae* است.

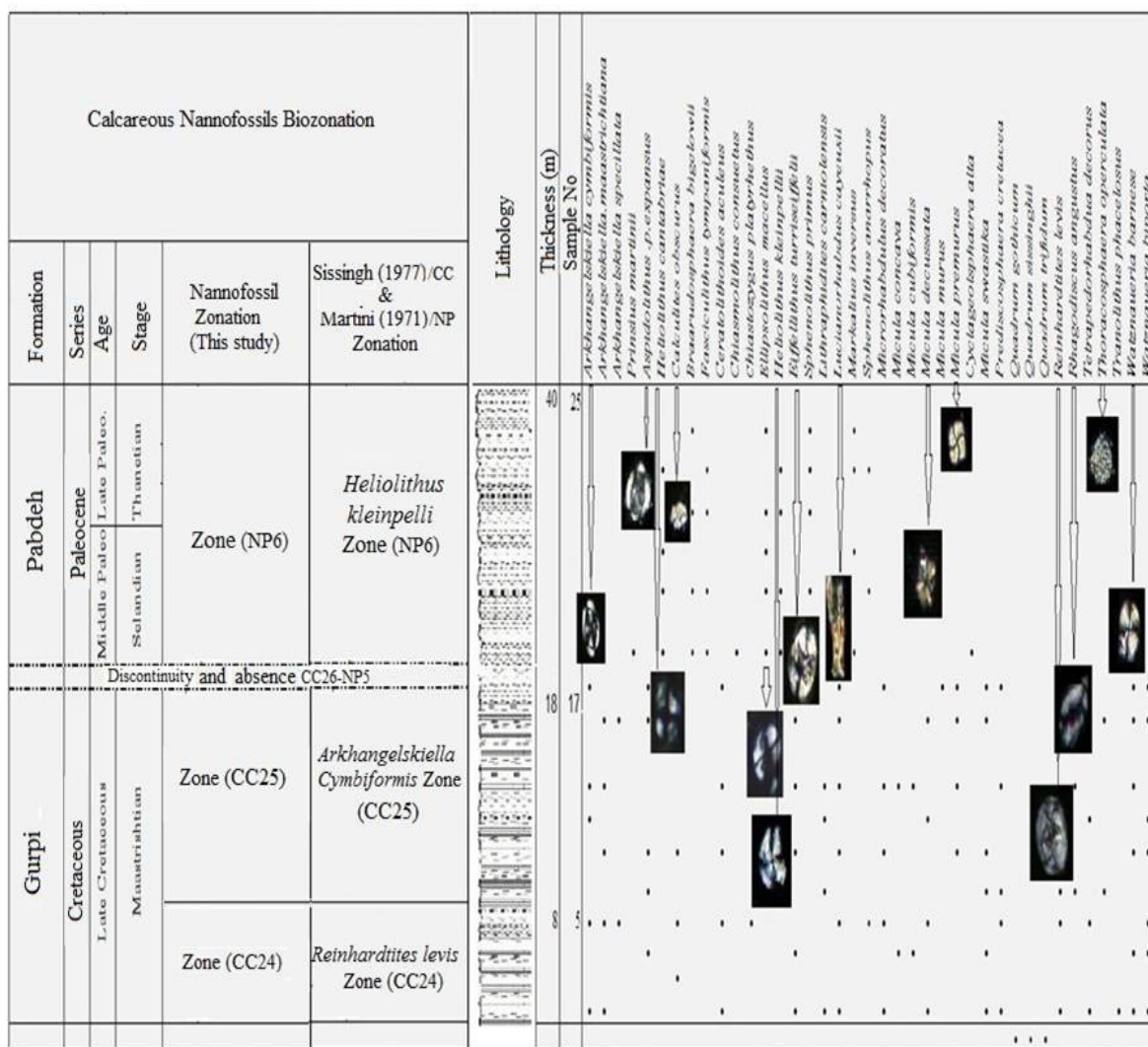
از زون‌بندی سیسینگ [۱۹]، *NP* بیانگر نانوپلانکتون‌های پالئوزن از زون‌بندی مارتینی [۱۴]، *UC* بیانگر تقسیمات زونی کرتاسه پسین از زون‌بندی بارتنت [۶] و *CP* بیانگر کوکولیت‌های پالئوزن از زون‌بندی اکادا و بوکری [۱۵] است. اسمی زیست‌زون‌های تعریف شده در تعیین اشکوبها به شرح زیر و در جدول ۱ است.

### Zone CC24 /UC18

اولین زون شناسایی شده در این تحقیق *levis Zone* است که در متراد پایانی رسوبات متعلق به زمان کرتاسه شناسایی شد.

تعریف: این زون زیستی در حد فاصل آخرین حضور گونه *Tranolithus phacelosus* تا آخرین حضور گونه *Reinhardtites levis* قرار می‌گیرد [۱۶]

جدول ۱. چارت نانواستراتیگرافی در گذر از مرز سازند گوری به سازند پابده



*Cyclageolsphaera alta*, *Chiasmolithus consuetus*, *Fasciculithus tympaniformis*, *E. macellus*, *H. cantabriae*, *M. inversus*, *Prinsius martini*, *P. sigmoides*, *S. primus*, *S. anarrhopus*, می‌باشد.

#### ۴- وضعیت زیستی مرز کرتاسه-پالئوسن در برش مورد مطالعه

بر اساس مطالعات محققین، نانوپلانکتون‌های آهکی بیش از سایر موجودات تحت تاثیر تغییرات زیست‌محیطی نظری تغییرات دما، شوری و عمق در محیط زندگی خود قرار می‌گیرند و لذا با مطالعه آن‌ها می‌توان به بازسازی محیط زیست و تعیین خصوصیات شیمیایی حوضه رسوی در زمان گذشته پرداخت [۷]. طبق نظر بوکری [۷] فراوانی گونه *W. barnesiae* با عمق نسبت عکس دارد. در برش مورد مطالعه، فراوانی گونه *W. barnesiae* از *A. cymbiformis* قاعده زون *R. levius Zone* به سمت زون *CC25* پیش از بخش تحتانی زون *CC24* به سمت زون *CC25* پیش می‌رویم، با کاهش فراوانی گونه *M. decussata* نیز مواجه می‌شویم. نتایج بررسی‌های محققین نشان می‌دهد که فراوانی گونه *M. decussata* با عمق نسبت مستقیم دارد [۲۰]. در واقع این موضوع می‌تواند شاهدی دیگر مبنی بر کاهش عمق حوضه رسوی در زمان تهنشینی رسبات در زمان کرتاسه پسین در این بخش از حوضه رسوی باشد. از سویی دیگر با توجه به عدم حضور گونه‌های *L. quadratus*, *M. prinsii* و شاخص زون *CC26* نظری می‌توان عدم وجود این زون را در بخش فوقانی سازند گوربی در برش مورد مطالعه تایید نمود. همچنین، از پایان زون زیستی *CC25* تا شروع زون *kleinpelli Zone* *Heliolithus* به سن سلاندین/تاتنین وقفه رسوی بر اساس عدم حضور تمامی گونه‌های نانوفسیلی و نیز شواهد لیتولوژی که بصورت ناپیوستگی فرسایشی در رخنمون است مشاهده می‌شود. بعارتی دیگر قبل از شروع نهشتگی زون *NP6*، به سن پالئوسن میانی اپسین وقفه رسوی یا ناپیوستگی در برش مورد مطالعه رخ داده است. از سویی دیگر، در منطقه زاگرس سازند گوربی بارها توسط زمین‌شناسان مختلف مورد بررسی و مطالعه قرار گرفته است آنچه که از تمامی این مطالعات بر می‌آید

#### Zone CC25/ UC19

تعریف: این زون زیستی در حد فاصل آخرین حضور گونه *Reinhardtites levis* تا اولین حضور گونه *Nephrolithus frequens* [۱۶].

مولف: این زون توسط پرکنیلسون [۱۶] معرفی و سپس توسط سیسینگ [۱۹] تصحیح شده است.

هم‌ارزی: این زون معادل زون *UC19* از زون‌بندی بارت [۶] است. در این مطالعه حد پائینی این زون با آخرین حضور گونه *Reinhardtites levis* و مرز بالایی آن به علت عدم ثبت و شناسایی گونه *N. frequens* بوسیله حضور گونه *Micula murus* تعیین گردید. بازه زمانی این زون ماستریشتن میانی است. تجمعات فسیلی همراه این زون *Arkhangelskiella cymbiformis*, *Aspidolithus parcus expansus*, *Arkhangelskiella specillata*, *Arkhangelskiella maastrichtiana*, *Braarudosphaera bigelowii*, *Ceratolithoides aculeus*, *Chiastozygus platyrhethus*, *Calculites obscurus*, *Eiffellithus turriseiffelii*, *Lucianorhabdus cayeuxii*, *Lithraphidites carniolensis*, *Lithraphidites quadratus*, *Micula decussata*, *Microrhabdalus decuratus*, *Micula premurus*, *Micula murus*, *Micula concava*, *Micula cubiformis*, *Micula swastika*, *Prediscosphaera cretacea*, *Rhagodiscus angustus*, *Tetrapedorhabdua decorus*, *Thoracosphaera operculata*, *Watznaueria biparta*, *Watznaueria kleinelli* است. از پایان این زون زیستی به سن *barnesiae* ماستریشتن میانی تا شروع زون *kleinpelli Zone* وقفه رسوی بر اساس عدم حضور تمامی گونه‌های نانوفسیلی و نیز بررسی شواهد لیتولوژی که بصورت ناپیوستگی فرسایشی در رخنمون است مشاهده می‌شود.

#### Zone NP6/ CP5

اولین زون شناسایی شده که در بخش بالایی زون *CC25* قرار دارد، زون *NP6/ CP5* است.

تعریف: این زون از اولین حضور گونه *kleinpelli* *Discoaster mohleri* *Heliolithus* تا اولین حضور گونه *D. mohleri* *Heliolithus* [۱۶]. سن این زون پالئوسن پسین (سلاندین/تاتنین) می‌باشد. گونه *D. mohleri* در این مطالعه ثبت نگردید بنابر این حد بالایی زون نامشخص می‌باشد.

هم‌ارزی: این زون معادل با زون *CP5* از زون‌بندی اکادا و بوکری [۱۵] است. تجمعات فسیلی همراه در این زون شامل گونه‌های *Braarudosphaera bigelowii*

این گونه فرمی مسطح، بزرگ و دارای سه سیکل با ضخامت مساوی از عناصر کلسیتی است که در نور پلاریزه بخوبی قابل تشخیص است. سیکل میانی روشن‌تر و واضح‌تر از بقیه سیکل‌ها است. محدوده سنی این گونه پالئوسن (سلاندین تا تانتن) است [۱۶].

*Lucianorhabdus cayeuxii* Deflandre, 1959  
کوکولیتی مخروطی یا ستونی شکل است که دو طرف آن کماپیش موازی است. دارای دیسک قاعده‌ای نازک و حاشیه باریک است. ظهور این فسیل بعنوان شاخص در زون‌بندی سیسینگ [۱۹] مورد استفاده قرار می‌گیرد. محدوده سنی این گونه از سانتونین پسین تا انتهای ماسترشتین پسین است [۱۶].

*Reinhardtites levis* Prins & Sissingh in Sissingh, 1977  
کوکولیتی بیضوی شکل بوده که در ناحیه مرکزی دارای پلی است که بدلیل پر شدن توسط عناصر کلسیتی وضوح کمی دارد. اولین ظهور و آخرین حضور این گونه در زون‌بندی سیسینگ [۱۹] مهم است. محدوده سنی این گونه از کامپانین پسین تا انتهای ماسترشتین است [۱۶].

*Tranolithus phacelosus* Stover (1966)  
کوکولیتی بیضوی شکل با حاشیه صاف و پهنانی متوسط است. ناحیه مرکزی آن صفحه‌ای شکل بوده و متشکل از چهار بلوك کلسیتی توده‌ای است. این چهار بلوك دو به دو در وسط به هم متصل می‌باشند. محدوده سنی این گونه از آلبین پسین تا ماسترشتین پیشین است [۱۶].

*Eiffellithus turriseiffelii* (Deflandre in Deflandre & Fert, 1954) Reinhardt (1965)  
کوکولیتی بیضوی با دیواره‌ای متشکل از یک ردیف عناصر مایل است. ناحیه مرکزی توسط صلیبی که حالت ضربدری دارد مشخص می‌شود. صلیب مرکزی ساده بوده و کمی طویل می‌باشد و به صورت متقارن بین محورهای طولی و عرضی قرار می‌گیرد. محدوده سنی این گونه از آلبین پسین تا ماسترشتین پسین است [۱۶].

*Lithraphidites carniolensis* Deflandre, 1963  
گونه‌ای کشیده و سوزنی است که دارای عناصر تیغه‌ای با کناره‌های کم و بیش موازی و صاف می‌باشد. در نور پلاریزه به سختی مشخص و به صورت خطوط روشن مشاهده می‌شود. محدوده سنی این گونه از تیتونین تا ماسترشتین پسین است [۱۶].

*Microrhabdalus decuratus* Deflandre (1959)

آن است که مرز بالایی آن از نظر زمانی، در مناطق مختلف زاگرس بسیار متغیر و به صورت ناهمzman از ماستریشتن تا پالئوسن و نیز بصورت ناپیوستگی گزارش شده است. همانطور که در این مطالعه نیز مشاهده می‌شود مرز مذکور با توجه به عدم ثبت فسیلی از یکسو و نیز شواهد صحرایی وجود ذرات اکسید آهن بصورت ناپیوسته ارزیابی می‌گردد و این یکی از دلایل لازم برای بررسی مرز کرتاسه –پالئوسن در این بخش از زاگرس بر مبنای نانوفسیل‌های آهکی بوده است.

## ۵- سیستماتیک نانوفسیل‌های آهکی

توصیف برخی از مهم‌ترین گونه‌های شناسایی شده و زون‌ساز که جهت رده‌بندی و انجام مطالعات بیواستراتیگرافی انجام گرفته است به شرح زیر می‌باشد:

*Arkhangelskiella cymbiformis* Vekshina, 1959  
کوکولیتی بیضوی شکل دارای سپر دیستال و پروکسیمال است. ناحیه مرکزی آن بزرگ بوده و دارای تعداد کمی حفره می‌باشد. تفاوت این گونه با *Arkhangelskiella specillata* در تعداد حفرات و وضعیت ناحیه مرکزی است، بطوریکه حفرات در این گونه کمتر و ناحیه مرکزی بزرگ‌تر از *A. specillata* است. محدوده سنی این گونه از کامپانین فوقانی تا انتهای ماستریشتن پسین است [۱۶].

*Braarudosphaera bigelowii* (Gran & Braarud 1935) Deflandre, 1947  
کوکولیتی پنج شکلی است که دارای ۵ قطعه می‌باشد. در هر قطعه کمی فشرده‌گی دیده می‌شود. خطوط بر جسته در بین هر قطعه مشاهده می‌شود. زوایای پنج ضلعی در انتهای کمی گردش‌گی دارند. محدوده سنی این گونه از سنتومانین تا انتهای ماسترشتین است [۱۶].

*Calculites obscurus* (Deflandre, 1959) Prins & Sissingh in Sissingh, 1977  
کوکولیتی بیضوی شکل با چهار بلوك کلسیتی است که دارای حاشیه بایکی می‌باشد. این گونه فاقد ساقه بوده و در ناحیه مرکزی دارای خطوط درز بسیار واضح است. ظهور این گونه به عنوان شاخص مهم و زون‌ساز در زون‌بندی سیسینگ [۱۹] مورد استفاده قرار می‌گیرد. محدوده سنی این گونه از سانتونین پسین تا انتهای ماسترشتین پسین است [۱۶].

*Heliolithus kleinelli* Sullivan, 1964

انتهای کامپانین پیشین تا انتهای ماسترستین پسین است [۱۶].

*Watznaueria biporta* Bukry, 1969

کوکولیتی بیضوی شکل که سپر دیستال آن دارای حلقه‌ای از عناصر کلسیتی است. ناحیه مرکزی دارای دو سوراخ است که در نور طبیعی دیده می‌شود. محدوده سنی این گونه از پورتلندین تا ماسترستین است [۱۶].

*Watznaueria barnesiae* (Black in Black & Barnes, 1959) *Perch-Nielsen*, 1968

کوکولیتی بیضوی شکل که سپر دیستال آن دارای دو یا سه حلقه از عناصر کلسیتی و سپر پروکسیمال دارای دو حلقه از عناصر کلسیتی است. ناحیه مرکزی شکافی است که قادر ساختمان مشخص است. محدوده سنی این گونه از آكسفوردین تا انتهای ماسترستین پسین است [۱۶].

#### ۶- نتیجه‌گیری

در مطالعه رسوبات متعلق به گذر سازند گورپی به پابده در مرز بین زون‌های ایده به فروافتادگی دزفول نتایج زیر به دست آمد:

تعداد ۳۹ گونه از نانوفسیل‌های آهکی با حفظشدنی خوب شناسایی شد. بر مبنای گونه‌های شناسایی شده، بیوزون‌های CC24 Zone/UC18 و CC24 Zone/UC19 از NP6 به سن پالئوسن میانی/پسین از زون‌بندی مارتینی شناسایی شد. محیط رسوب‌گذاری رسوبات کرتاسه پسین با آب و هوای گرم و در عرض جغرافیایی پایین بوده که به طرف بالا از عمق حوضه رسوبی کاسته شده است. در واقع مرز بین زون‌های زیستی متعلق به کرتاسه پسین و پالئوسن دارای وقفه رسوبی بوده که این رویداد با واقعه زیستی عدم حضور گونه‌ها در مرز بین گورپی و پابده مشخص می‌گردد. این رویداد می‌تواند به علت کاهش ناگهانی سطح آب دریا در منطقه مورد نظر و ایجاد بستر خشکی، قابل تفسیر باشد. هم‌چنین بر اساس ارزش چینه‌شناسی بایوزون شناسایی شده در قاعده پابده، محیط رسوب‌گذاری نهشته‌های متعلق به زمان پالئوسن با آب و هوای گرم بوده که بعد از ناپیوستگی موجود به طرف بالای رخمنون به عمق حوضه رسوبی افزوده شده است. بنابراین بر اساس ارزش چینه‌شناسی بایوزون‌های مذکور و شواهد فسیلی همراه (UC18/CC24)، محیط رسوب‌گذاری توالی مورد نظر ابتدا محیطی عمیق بوده که

این گونه به شکل میله‌ای و دیواره منقطع است. در نمای جانبی دو طرفی موازی دارد و مقطع عرضی آن دایره‌ای است. محدوده سنی این گونه از سنتونین پسین تا انتهای ماسترستین پسین است [۱۶].

*Micula decussata* Vekshina (1959)

نانولیتی مکعبی شکل بوده که از چهار بلوك کلسیتی بهم چسبیده تشکیل شده است. خطوط درز در ناحیه مرکزی بصورت ضربدری است. محدوده سنی این گونه از کنیاسین پیشین تا انتهای ماسترستین پسین است [۱۶].

*Micula murus* (Martini, 1961) Bukry, 1973

نانولیتی مکعبی شکل که از دو سیکل پیچیده تشکیل شده است. سیکل اول کوچکتر و سیکل دوم در خلاف جهت سیکل دیگر پیچیده است. این گونه خاص مناطق با عرض جغرافیایی پایین است و در نواحی تروپیکال مشاهده می‌شود. محدوده سنی این گونه از ماسترستین پسین تا انتهای ماسترستین پسین است [۱۶].

*Micula premurus* (Bukry, 1973) Stradner & Steinmetz (1984)

نانولیتی مکعبی شکل بوده که از چهار عنصر کلسیتی و دو سیکل پیچیده تشکیل شده است. یک سیکل کوچکتر از دیگری است. دو عنصر کلسیتی نسبت به دو عنصر دیگر باریکتر است. محدوده سنی این گونه از کامپانین پسین تا انتهای ماسترستین پسین است [۱۶].

*Micula swastika* Stradner & Steinmetz, 1984

نانولیتی مکعبی شکل بوده که دیواره‌اش دو لایه است. هر لایه دارای چهار عنصر است. خط درز بصورت ضربدری است. محدوده سنی این گونه از انتهای سنتونین پیشین تا انتهای ماسترستین پسین است [۱۶].

*Prediscosphaera cretacea* (Arkhangelsky, 1912) Gartner, 1968

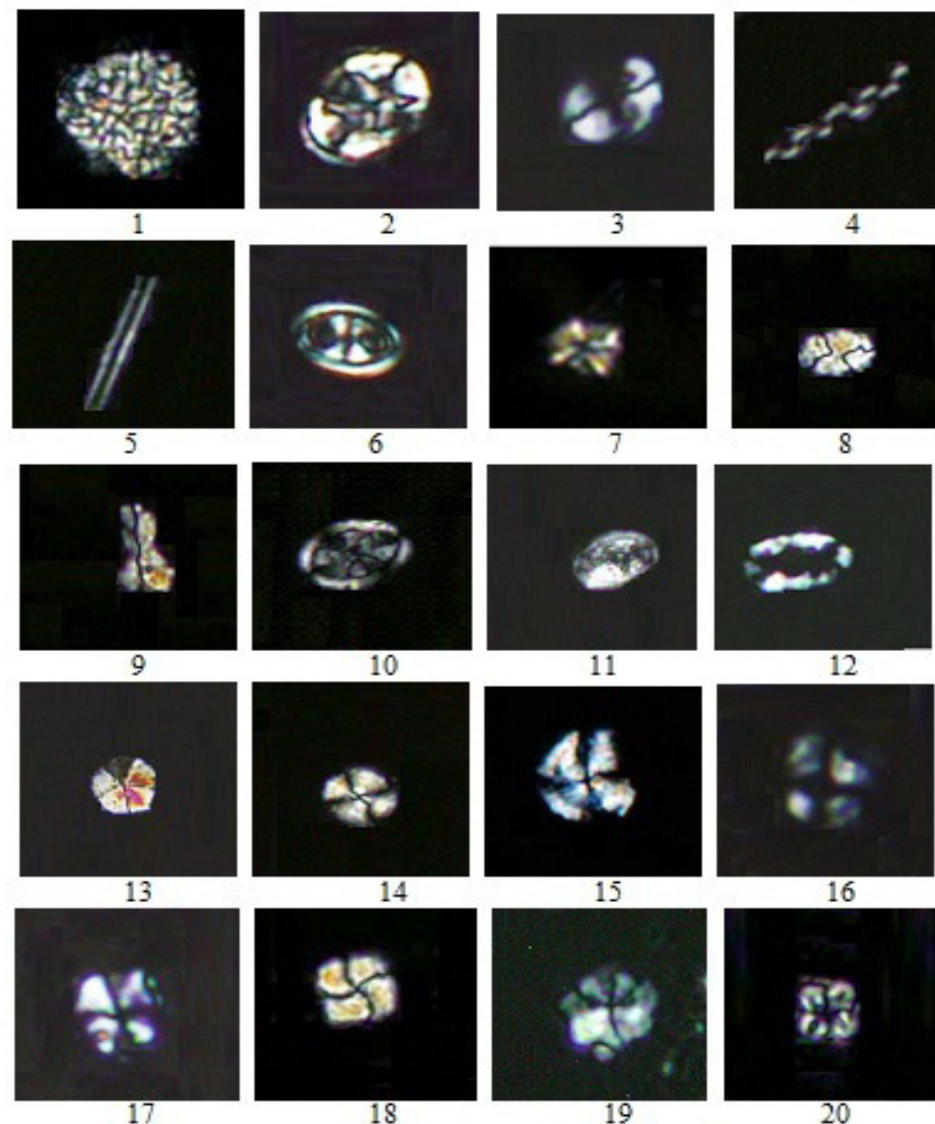
کوکولیتی گرد تا بیضوی شکل با ساقه مشخص است. دارای ۱۶ عنصر کلسیتی است. ناحیه مرکزی پهن دارد و صلیب مرکزی آن ضربدری است. محدوده سنی این گونه از سنتونین پسین تا انتهای ماسترستین پسین است [۱۶].

*Ceratolithoides aculeus* (Stradner, 1961)  
*Prins & Sissingh in Sissingh*, 1977

این گونه دارای دو شاخ نسبتاً کوتاه و یک تیغه راسی بلند است. انحنای بین دو شاخه در گونه‌های ماسترستین حدود ۹۰ یا کمتر از آن است. محدوده سنی این گونه از

زمانی پالئوسن میانی/پسین، افزایش عمق حوضه رسوی همراه با حضور گونه‌های شاخص معرف آب و هوای گرم که بیانگر عرض‌های جغرافیایی پایین در حوضه رسوی می‌باشد تایید کننده این مطلب است که حوضه رسوی مورد نظر در عرض‌های جغرافیایی پایین قرار داشته است.

بتدربیج در پایان کرتاسه (CC25/UC19) این محیط بسیار کم عمق گشته تا اینکه در ماستریشتنین میانی/پسین، توالی رسوی‌گذاری کرتاسه پایان یافته و بعد از این زمان محیط رسوی بطور کامل از آب خارج گشته بطوریکه شواهد رسوی ذرات اکسید آهن و هم شواهد زیستی بحث شده موید این نکته است. سرانجام در برخ



**Plate:** All figures in XPL, Light micrographs  $\times 1000$ ; the taxa considered in the present figure are referenced in Perch-Nielsen (1985); 1: *Thoracospaera operculata* Bramlette & Martini (1964); 2: *Eiffellithus turriseiffelii* (Deflandre in Deflandre & Fert, 1954) Reinhardt (1965); 3: *Ellipsolithus macellus* (Bramlette & Sullivan, 1961) Sullivan, 1964; 4: *Microrhabdulus decoratus* Deflandre (1959); 5: *Lithraphidites carniolensis* Deflandre, 1963, (XPL); 6: *Tranolithus phacelosus* Stover (1966); 7: *Micula decussata* Vekshina (1959); 8: *Calculites obscurus* (Deflandre, 1959) Prins and Sissingh in Sissingh (1977); 9: *Lucianorhabdus cayeuxii* Deflandre (1959); 10: *Arkhangelskiella cymbiformis* Vekshina (1959); 11: *Reinhardites levius* Prins & Sissingh in Sissingh, 1977; 12: *Rhagodiscus angustus* (Stradner, 1963) Reinhardt (1971); 13: *Braarudosphaera bigelowii* (Gran & Braarud, 1935) Deflandre (1947); 14: *Watznaueria barnesiae* (Black in Black & Barnes, 1959) Perch-Nielsen (1968); 15: *Heliolithus kleinpelli* Sullivan, 1964; 16: *Heliolithus cantabriae* Perch-Nielsen, 1971; 17: *Sphenolithus anarrhopus* Bukry & Bramlette, 1969; 18: *Micula praemurus* (Bukry, 1973) Stradner & Steinmetz (1984); 19: *Sphenolithus primus* Perch-Nielsen 1971; 20: *Micula cubiformis* Forchheimer, 1972.

- Geological Society of America, Denver-115th Annual Meeting.*
- [14] Martini, E (1971) Standard Tertiary and Quaternary Calcareous Nannoplankton Zonation. *Proceedings of the 2<sup>nd</sup> Planktonic Conference Roma, Italy*, 739-785.
- [15] Okada, H., & Bukry, D (1980) Supplementary modification and introduction of code numbers to the low-latitude coccolith biostratigraphic zonation (Bukry, 1973; 1975). *Marine Micropaleontology*, 5:321-325
- [16] Perch-Nielsen, K (1985) Mesozoic calcareous nannofossils. In: Bolli, H.M., Saunders, J.B., and Perch-Nielsen, K. (eds.) *Plankton Stratigraphy*. Cambridge Earth Sciences Series. Cambridge University, 329-426.
- [17] Roth, P.H (1994) Distribution of coccoliths in oceanic sediments. In: Winter, A., Siesser, W.G. (eds.), *coccolithophores*. Cambridge University Press, Cambridge, 199-218.
- [18] Sherkati, Sh., & Letouzey, J (2004) Variation of structural style and basin evolution in the Central Zagros (Izeh zone and Dezful Embayment), Iran. *Marine and Petroleum Geology*, 21:535-554.
- [19] Sissingh, W (1977) Biostratigraphy of Cretaceous Calcareous Nannoplankton. *Geologie en Mijnbouw*, 57: 37-65.
- [20] Thierstein, H.R (1976) Mesozoic calcareous nannoplankton Biostratigraphy of Marine Sediments. *Marine Micropaleontology*, 1: 325-362.
- [21] Thierstein, H.R (1981) Late cretaceous nannoplankton and the change at the Cretaceous -Tertiary Boundary. In: Warne JE, Douglas RG, Winterer EL (eds.) *The Deep Sea Drilling Project of progress*. Society for Sedimentary Geology, 32:355-394.
- [22] Watkins, D.K (1992) Upper Cretaceous nannofossils from Leg 120, Kerguelen plateau, southern ocean: Proceedings of the Ocean Drilling program, scientific results, 120: 343-370.
- [23] Watkins, D.K., Wise, S.W. Pospichal, J.J. & Crux, J (1996) Upper Cretaceous calcareous nannofossil biostratigraphy and paleoecology of the Southern Oceon. In Alicia Moguilevsky and Robin Whatley (eds.) *Microfossils and Oceanic Environments*. University of Wales Aberystwyth- Press, 355-381.
- [24] Wise, S.W (1988) Mesozoic and Cenozoic history of calcareous nannofossils in the region of the Southern Ocean. *Palaeogeography, Palaeoclimatology, Palaeoecology*, 76:157-179.

## منابع

- [۱] آقانباتی، ع (۱۳۸۳) زمین‌شناسی ایران، انتشارات سازمان زمین‌شناسی و اکتشافات معدنی، ۵۸۶ ص.
- [۲] رضائیان، ه (۱۳۹۰) زیست‌چینه‌نگاری سازندگاه‌های ایلام و گوری در شرق شهرستان رامهرمز، برش تنگ بولفارس. پایان‌نامه کارشناسی ارشد، دانشگاه اصفهان، ۱۱۰ ص.
- [۳] فریدون‌پور، م، وزیری‌مقدم، ح، غبیشاوی، ا، و طاهری، ا (۱۳۹۳) چینه‌نگاری سازندگوری در برش تقادیس کوه سیاه و مقایسه آن با برش‌های تنگ بولفارس و تقادیس آغار. نشریه علمی پژوهشی رخسارهای رسوی، شماره یک، سال هفتم، ۸۳-۱۰۶.
- [۴] Beiranvand, B., & Ghasemi-Nejad, E (2013) High resolution planktonic foraminiferal biostratigraphy of the Gurpi Formation, K/PG boundary of the Izeh zone, SW Iran. *Revista Brasileira de Paleontologia*, 16 (1): 5-26.
- [۵] Bown, P.R., & Young, J.R (1998) Technique. In: Bown, P.R., (ed.) *Calcareous nannofossil Biostratigraphy*. Kluwer Academic Publishing, Dordrecht, 16-28.
- [۶] Burnett, J.A (1998) Upper cretaceous. In: Bown, P.R. (ed.) *Calcareous nannofossil biostratigraphy*. Chapman and Hall/ Kluwer Academic Publishers, London, 132-199.
- [۷] Bukry, D (1973) Coccolith stratigraphy, eastern equatorial Pacific, Leg 16, Deep Sea Drilling Project. *Initial Reports of the Deep Sea Drilling Project*, 16: 653-711.
- [۸] Hadavi, F., Khosrowtehrani, K., & Senemari, S (2007) Biostratigraphy of Calcereous Nannofossils of Gurpi Formation in North Gachsaran: *Journal of Geosciences*, 64:14-23.
- [۹] Hadavi, F., Ezadi, M (2007) Biostratigraphy of the Gurpi Formation in Dare- Shahr section (Zagros basin): The First MAPG International Convention Conference and Exhibition.
- [۱۰] Huber, B.T., Norris, R.D., & MacLeod, K.G (2002) Deep-sea paleotemperature record of extreme warmth during the Cretaceous. *Geology*, 30: 123-126.
- [۱۱] James, G.A., & Wynd, J.D (1965) *Stratigraphic Nomenclature of Iranian Oil Consortium Agreement Area*. American Association of Petroleum Geologists Bulletin, 49(12): 2182-2245.
- [۱۲] Kamali, M.R., Fathi Mobarakabad, A., & Mohsenian, E (2006) Petroleum Geochemistry and Thermal Modeling of Pabdeh Formation in Dezful Embayment. *Journal Science of University Tehran*, 32(2): 1-11.
- [۱۳] Kayvani, F (2002) Depositional environments diagenesis of Cretaceous (Albian to Maastrichtian) strata of the Abadan plain of the Persian platform in southwestern Iran.

## ***Nannostratigraphy of deposits attributed to Gurpi-Pabdeh Formations boundary located in Izeh and Dezful embayment border, Zagros***

**S. Senemari**

*Dept., of Mining Engineering, Imam Khomeini International University, Qazvin*

\* senemari2004@yahoo.com

*Received: 2017/7/10 Accepted: 2017/10/29*

### **Abstract**

The calcareous nannofossils are important in determining the relative age of the Mesozoic and Cenozoic layers. To study Cretaceous-Paleogene boundary, the section in East Ramhormoz were studied based on calcareous nanofossils. In this interval, were studied sediment thickness of 40 meters of shale and limestone and in this study, for the first time were identified 39 species of nannofossils. As a result this study were identified bio zones include Reinhardtites Levis Zone (UC18/CC24) and Arkhangelskiella cymbiformis (CC25/UC19) with Late Cretaceous age and Heliolithus kleinelli Zone (NP6) with Seladian/Thanetian age. Based on the zones obtained, the transition period examined is Maastrichtian-Selandian/Thanetian (Middle/Late Paleocene) and was determined the boundary between the Cretaceous to Paleogene of discontinuity type.

**Keywords:** Biozone, Nannostratigraphy, Deposite sedimentary, Izeh, Zagros.